

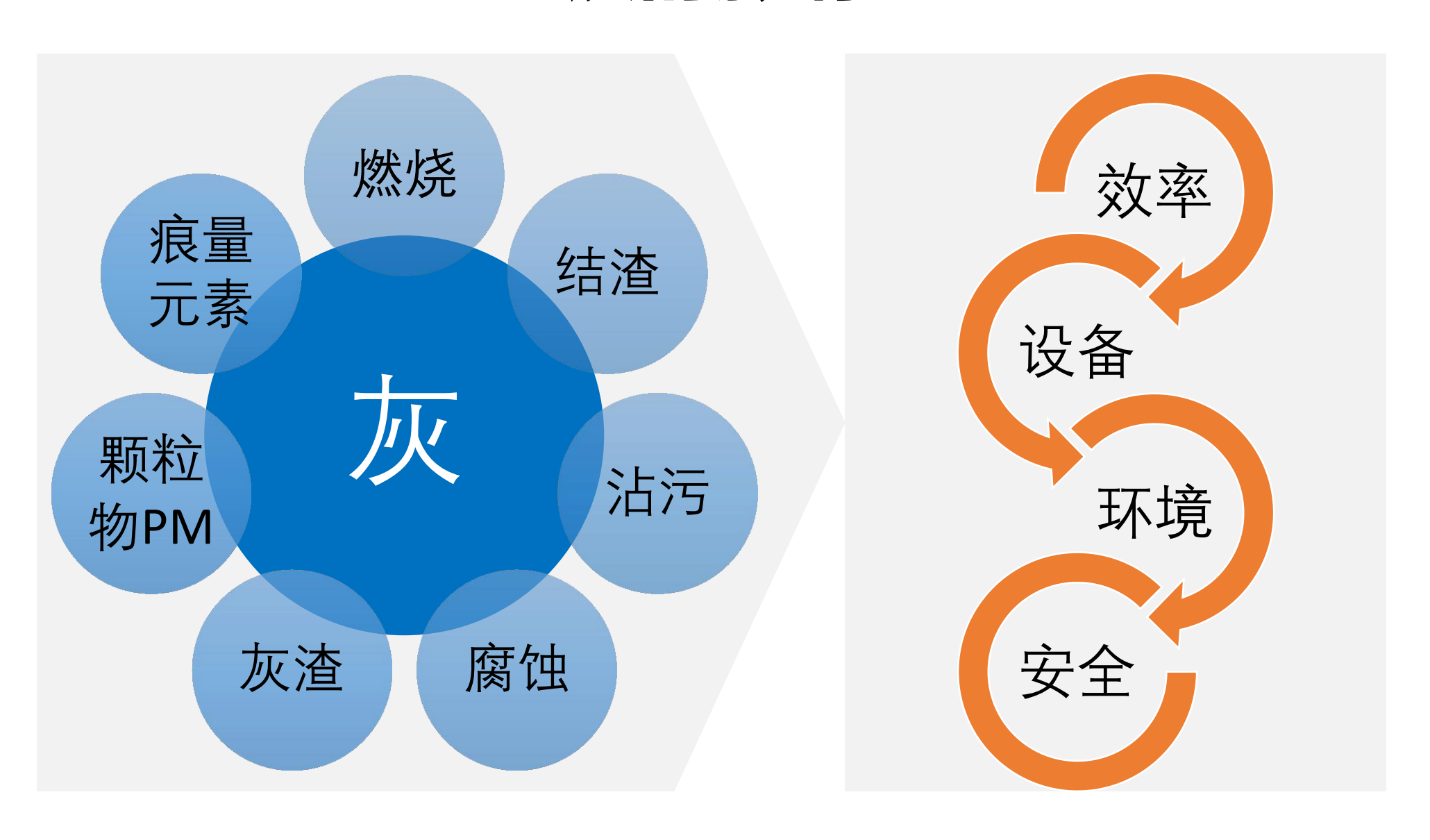


生物质燃烧:结渣、沾污、腐蚀及灰渣利用

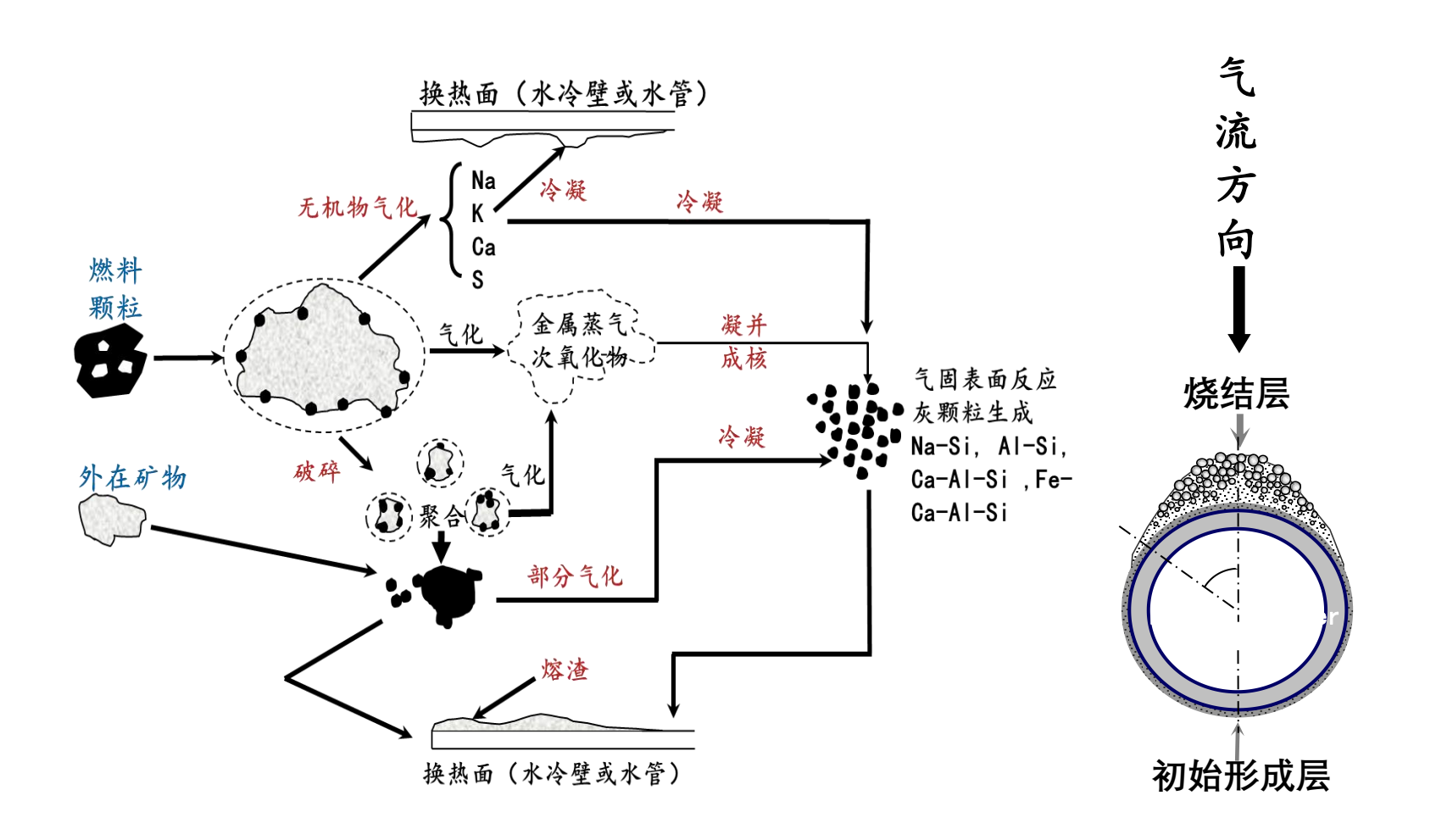
于敦喜

华中科技大学 煤燃烧国家重点实验室

灰的影响



结渣、沾污机理



结渣: 辐射受热面

(相对高温)

沾污: 对流受热面

(相对低温)

灰的状态:气、液、固

腐蚀机理

气相腐蚀

$$\begin{split} &M(s) + Cl_{2} \ (g) \to MCl_{x} \ (s) \\ &M(s) + x \ HCl \ (g) \to MCl_{x} (g) + H_{2} \ (s) \\ &MCl_{x} \ (s) \to MCl_{x} \ (g) \\ &MCl_{x} \ (s) \to MCl_{x} \ (g) \\ &MCl_{x} \ (s) + O_{2} \to MO_{x} (s) + Cl_{2} \ (g) \\ &MCl_{x} \ (s) + O_{2} + 4H_{2}O \to MO_{x} (s) + 8HCl \ (g) \\ &4HCl \ (g) + O_{2} \leftrightarrow H_{2}O + Cl_{2} \\ &Cr(s) + 2ACl \ (g) + 2O_{2} \ (g) \to 2A_{2}CrO_{4} \ (s,l) + Cl_{2} \ (g) \\ &Cr_{2}O_{3} \ (s) + 4ACl(s) + \frac{5}{2}O_{2} \ (g) \to 2A_{2}CrO_{4} \ (s,l) + 2Cl_{2} \ (g) \end{split}$$

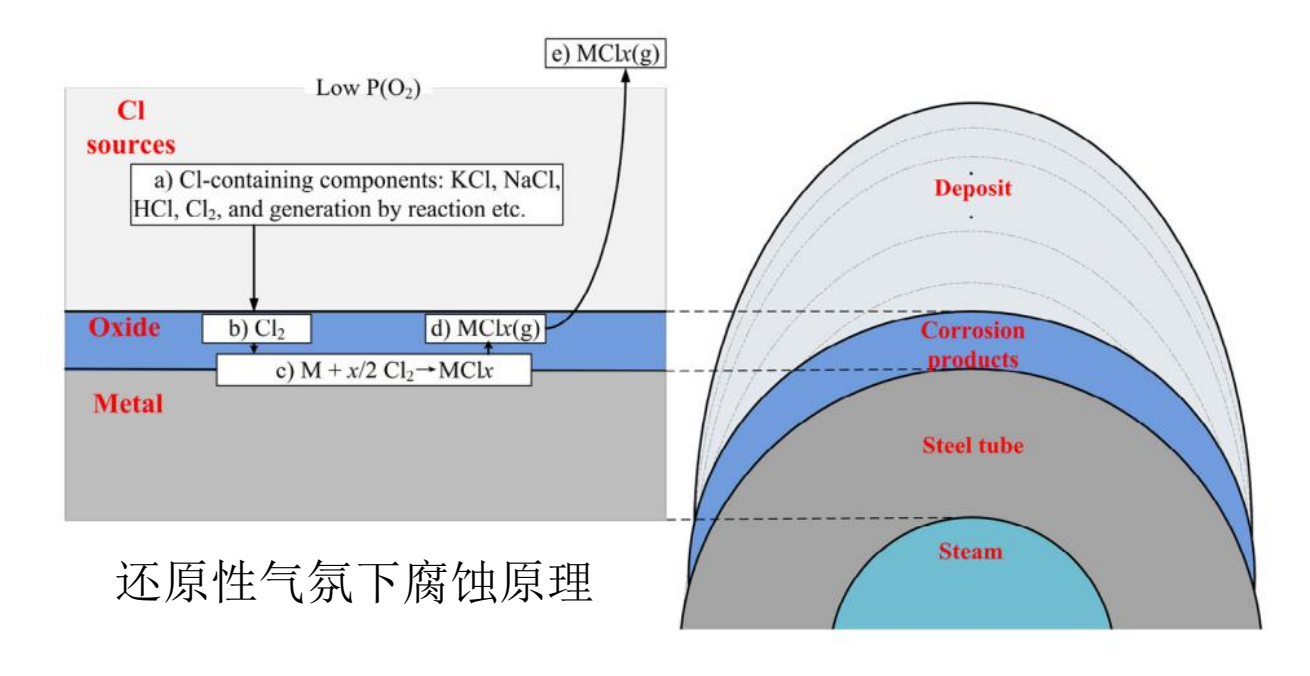
液相腐蚀

になって。
$$O_3(s) + 4ACl(g) + \frac{5}{2}O_2(g) \rightarrow 2A_2CrO_4(s,l) + 2Cl_2(g)$$

 $Fe_2O_3(s) + 2ACl(g) + \frac{1}{2}O_2(g) \rightarrow 2A_2FeO_2(s,l) + Cl_2(g)$
 $Cr(s) + 2ACl(s) + 2O_2(g) \rightarrow 2A_2CrO_4(s,l) + Cl_2(g)$
 $ACl(s,l,g) + nSiO_2(s) + H_2O(g) \rightarrow A_2O \cdot nSiO_2(s,l) + 2HCl(g)$
 $2ACl(s,l,g) + (nSiO_2 + Al_2O_3)(s,l) + H_2O(g) \leftrightarrow 2AAlSi_xO_y(s,l) + 2HCl(g)$
 $2ACl(s,l,g) + SO_2(g) + \frac{1}{2}O_2(g) + H_2O(g) \leftrightarrow A_2SO_4(s,l) + 2HCl(g)$
 $2ACl(s,l,g) + SO_2(g) + O_2(g) \leftrightarrow A_2SO_4(s,l) + Cl_2(g)$
 $2ACl(s,l,g) + SO_2(g) + O_2(g) \leftrightarrow A_2SO_4(s,l) + Cl_2(g)$
 $2ACl(s,l,g) + SO_2(g) + O_2(g) \leftrightarrow A_2SO_4(s,l) + Cl_2(g)$
 $2ACl(s,l,g) + SO_2(g) + O_2(g) \leftrightarrow A_2SO_4(s,l) + Cl_2(g)$

固相腐蚀

$$\begin{split} & \text{Fe}_2\text{O}_3(s) + 6\text{ACl }(s,l) \rightarrow 2\text{FeCl}_3(s,l) + 3\text{A}_2\text{O}(s,l) \\ & \text{Fe}_2\text{O}_3(s) + 6\text{ACl }(s,l) + 3\text{SO}_2(g) + \frac{3}{2}\text{O}_2(g) \rightarrow 2\text{FeCl}_3(s,l,g) + 3\text{A}_2\text{SO}_4(g) \\ & 4\text{Cr}(s) + \text{ACl }(s,l) + 2\text{O}_2(g) \rightarrow 2\text{Cr}_2\text{O}_3(s,l) + \text{ACl }(s,l) \\ & \text{Fe}_2\text{O}_3(s) + 3\text{A}_2\text{SO}_4(s) + 3\text{SO}_3(g) \rightarrow 2\text{A}_3\text{Fe}(\text{SO}_4)_3(s,l) \end{split}$$



生物质 vs 煤

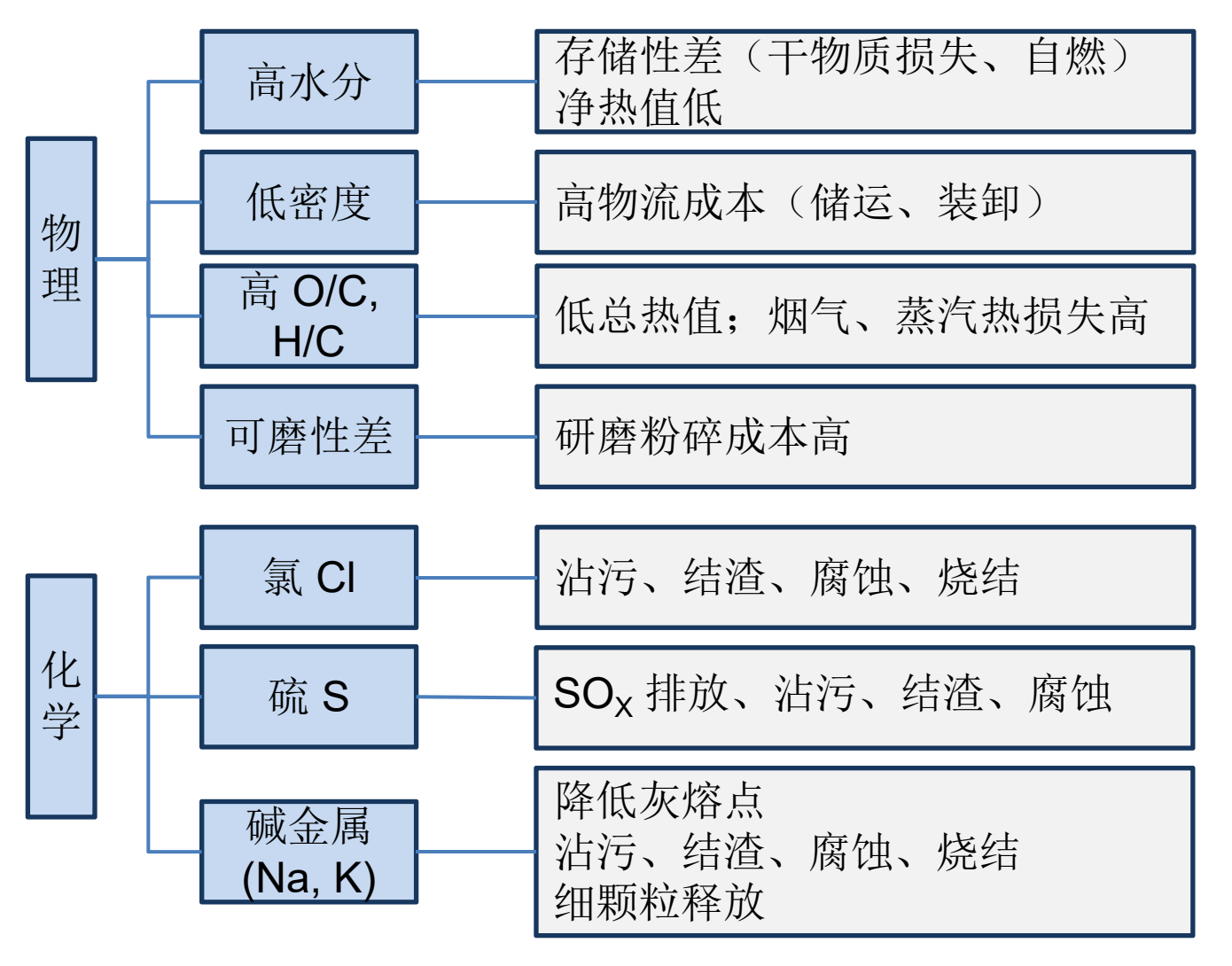
(wt.% on a dry basis, except moisture and HHV)

		(,,,		• • • • • • • • • • • • • • • • • • • •	
	Wood	Bark	Straw	Olive residues	Reed canary grass	Illinois Basin coal	Central Appalachian coal
Moisture (wt.% of fuel)	5–60	45–65	17–25	60–70	15–20	5.98	7.16
Ash	0.4-0.5	2-3	5	2-7	6.2-7.5	10.63	11.52
С	48-52	48-52	45-47	48–50	45.5–46.1	60.68	66.93
Н	6.2-6.4	5.7–6.8	5.7-6.0	5.5-6.5	5.7–5.8	4.77	4.43
0	38-42	24.3– 40.2	40–46	34	44	13.61	7.55
N	0.1-0.5	0.3-0.8	0.4-0.6	0.5–1.5	0.65-1.04	1.09	1.34
S	<0.05	<0.05	0.05- 0.20	0.07-0.17	0.08-0.13	3.24	1.07
CI	0.01- 0.03	0.01- 0.05	0.14– 1.05	0.10 (ash)	0.09	0.30	0.12
K	0.02- 0.05	0.1-0.4	0.69– 1.30	30 (in ash)	0.3–0.5		_1
Ca	0.1–1.5	0.02- 0.08	0.1-0.6	N/A	9	-	
HHV (MJ/kg)	4.8	5.6–6.5	8.1– 19.2	6.8–7.0	-	24.0	28.2

发热量 挥发分 水分 水分 S/N K/Cl Si/Al/Ca /Mg/Fe

Renewable and Sustainable Energy Reviews. Volume 161, June 2022, 112328

生物质燃烧:严重结渣/沾污/腐蚀

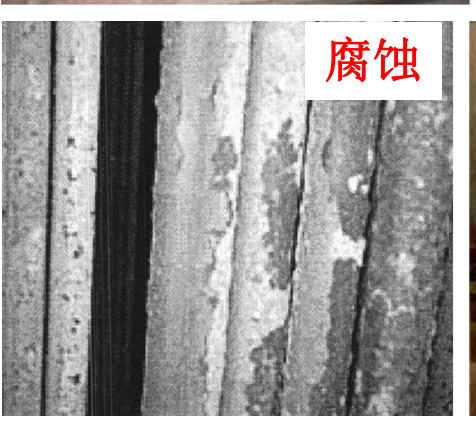






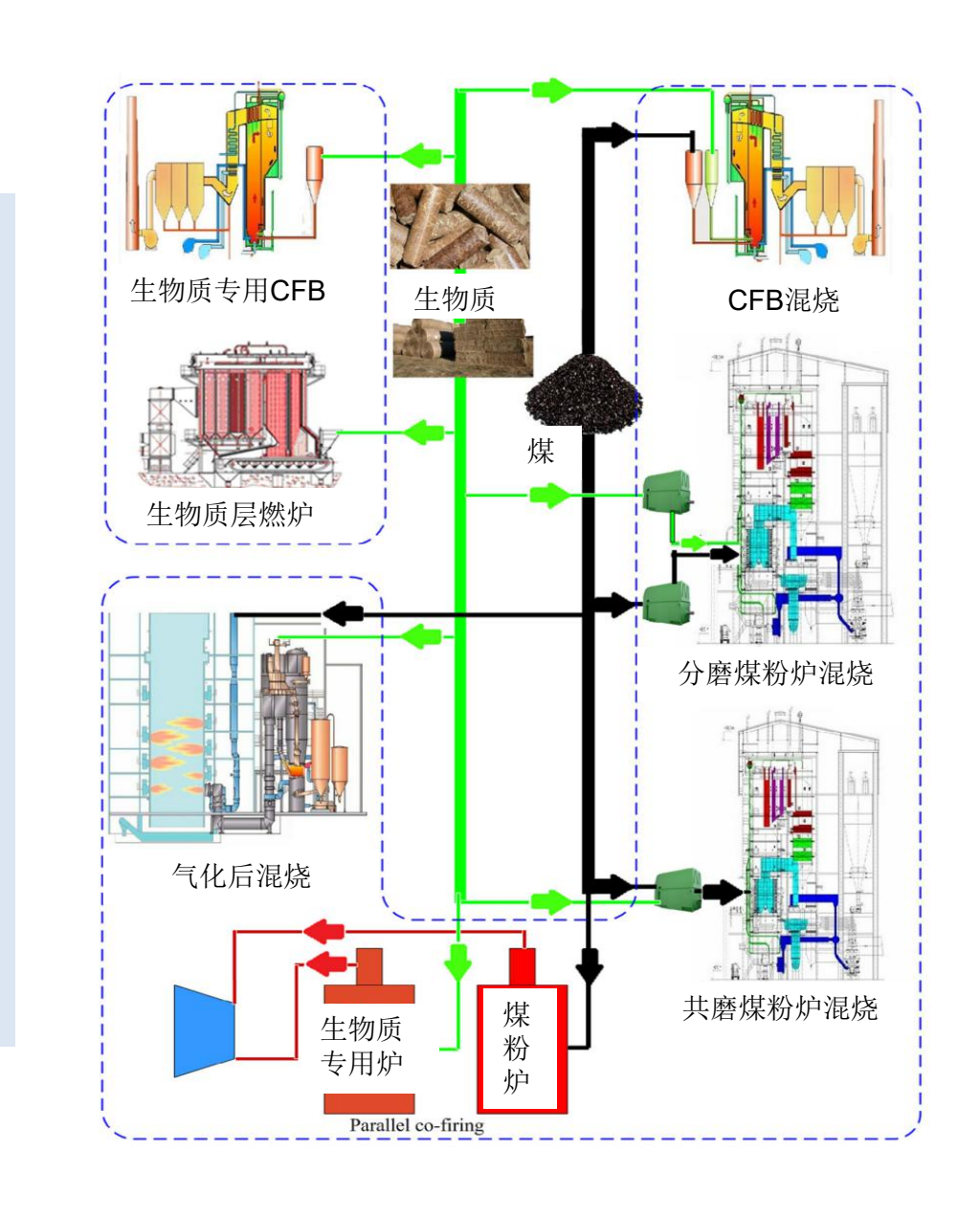


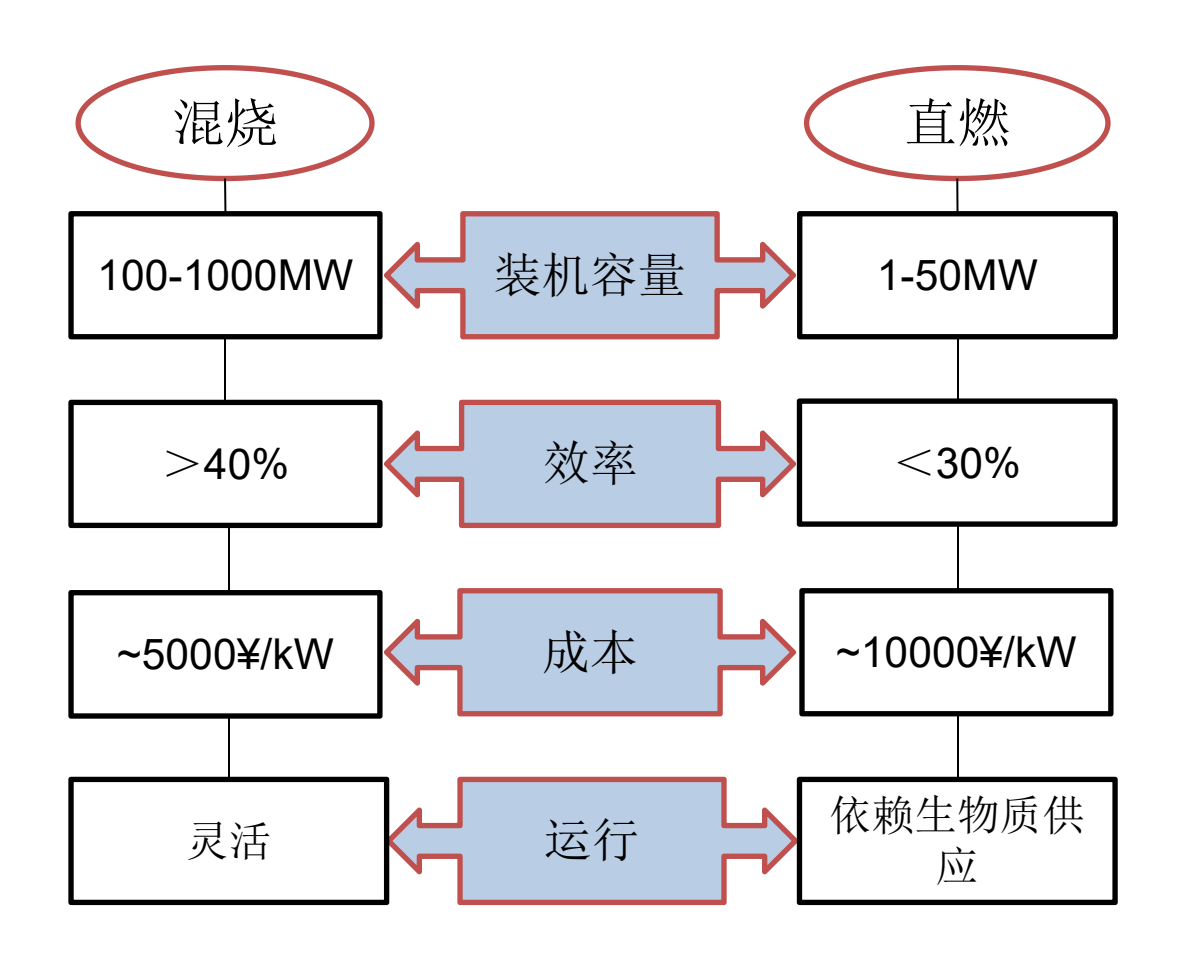




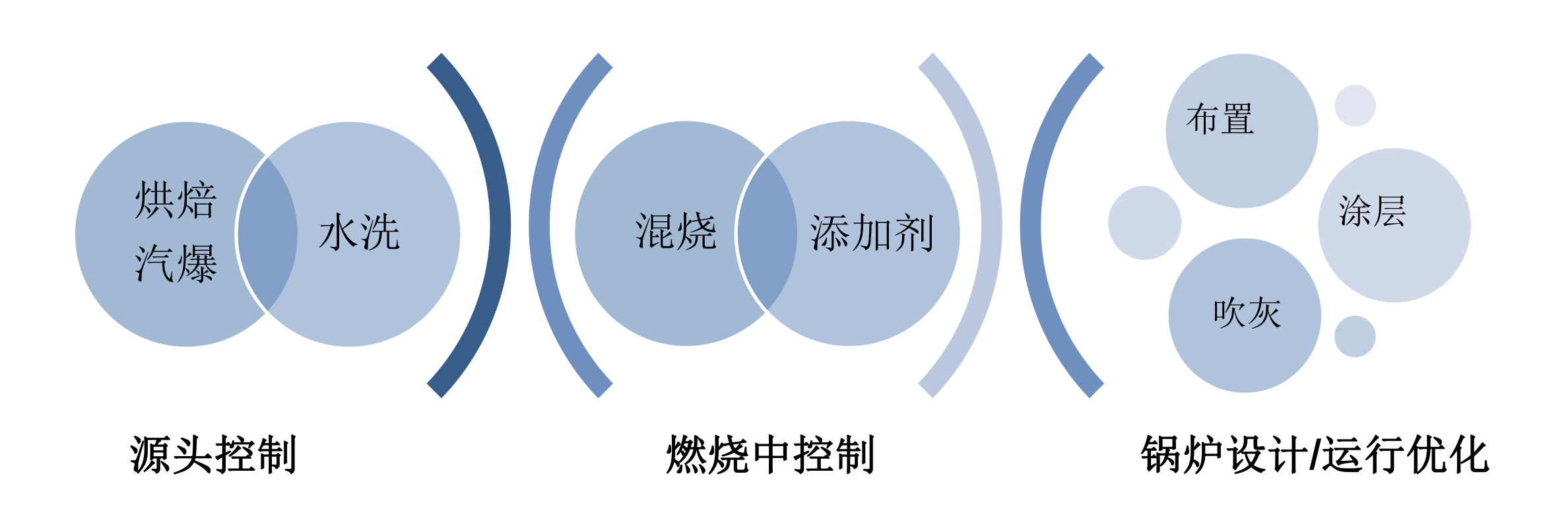


生物质燃烧发电技术





灰问题控制措施



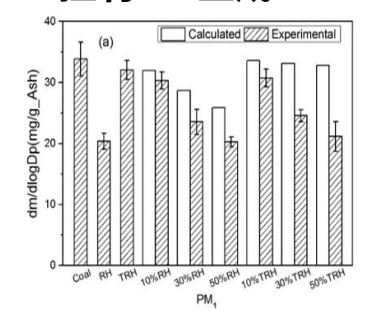
SKLCC灰行为研究(矿物转化/灰沉积/腐蚀/磨损)

灰沉积机理研究 准东煤的灰沉积特性及机理 储量大, 易开采; 低灰低硫, 高碱 金属及碱土金属 (AAEM) 富含Na、CI、 主要为粗颗粒沉积 初始沉积层 Na₂SO₄ \ CaSO₄

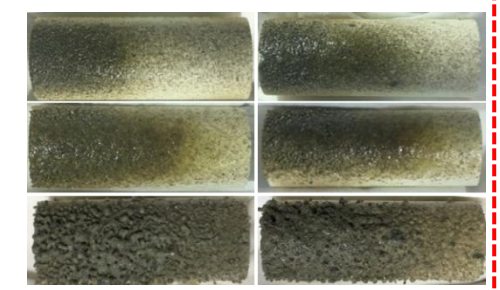
基于燃料掺烧灰沉积控制技术

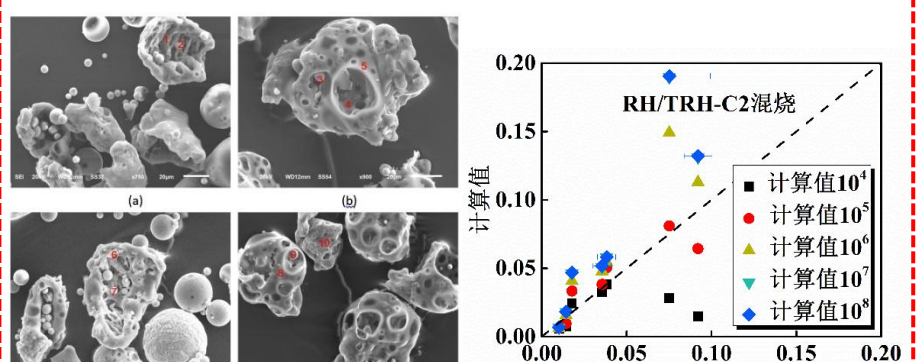
- ✓ 煤-煤匹配;
- ✓ 煤掺烧生物质
- ✓ 煤掺烧工业副产物(石油焦)

■ 控制PM生成



■ 控制积灰结渣倾向





固体燃料燃烧腐蚀研究

固体燃料燃烧腐蚀机理

(a) 空白组

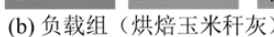
















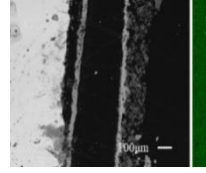








■ 腐蚀成分分析

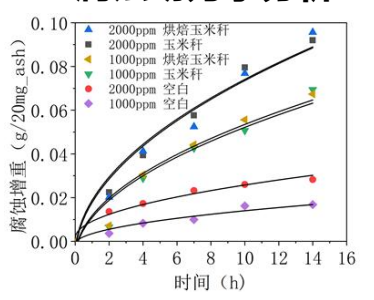


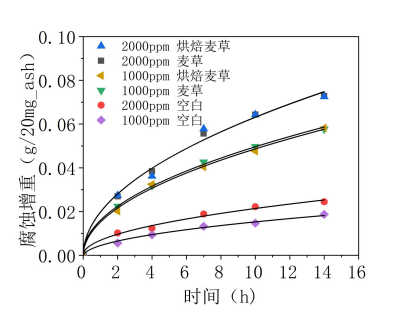






■ 腐蚀动力学分析





生物质烘焙 – 优点

典型生物质烘焙是一个在常压、低温(200-300℃)、惰性/低氧气氛下的温和热解过程

原生物质

- 可磨性差,破碎成本高
- 水分含量高
- 发热量低
- 堆积密度低
- 碱金属, 氯含量较高, 加剧沾污、结渣、烧结、腐蚀等

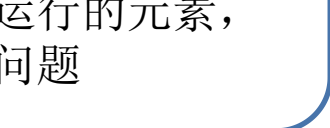


掺混比例不超过20%



烘焙生物质

- 可磨性好,易于破碎、给料
- 疏水性增强
- 发热量提高
- 密度增加,易于储运、装卸
- 减少不利于锅炉运行的元素, 可能缓解灰相关问题

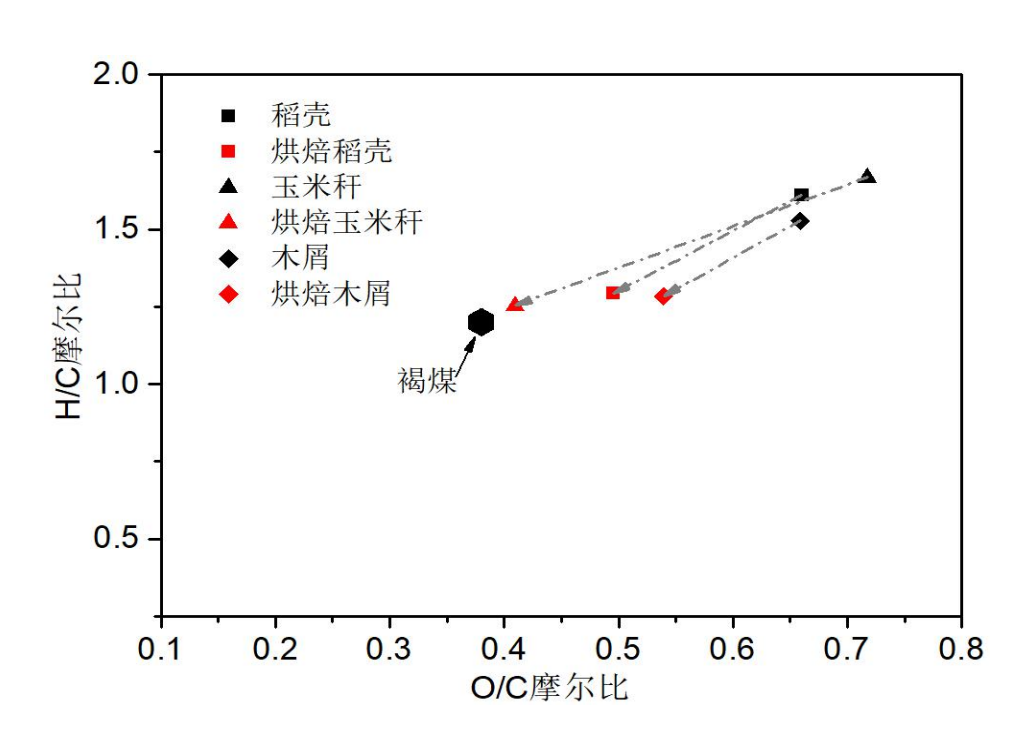


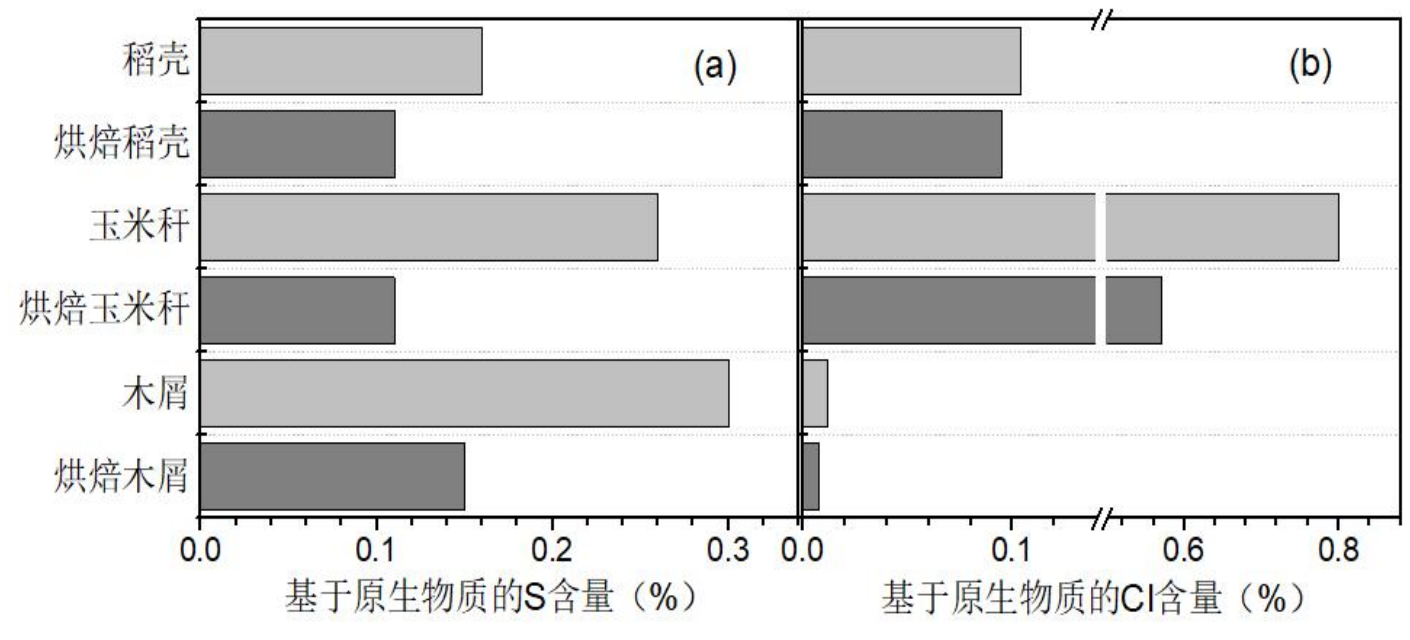


尤其适用于现役 燃煤机组改烧纯 生物质

掺混比例大幅提高, 甚至100%

生物质烘焙 - 燃料特性变化



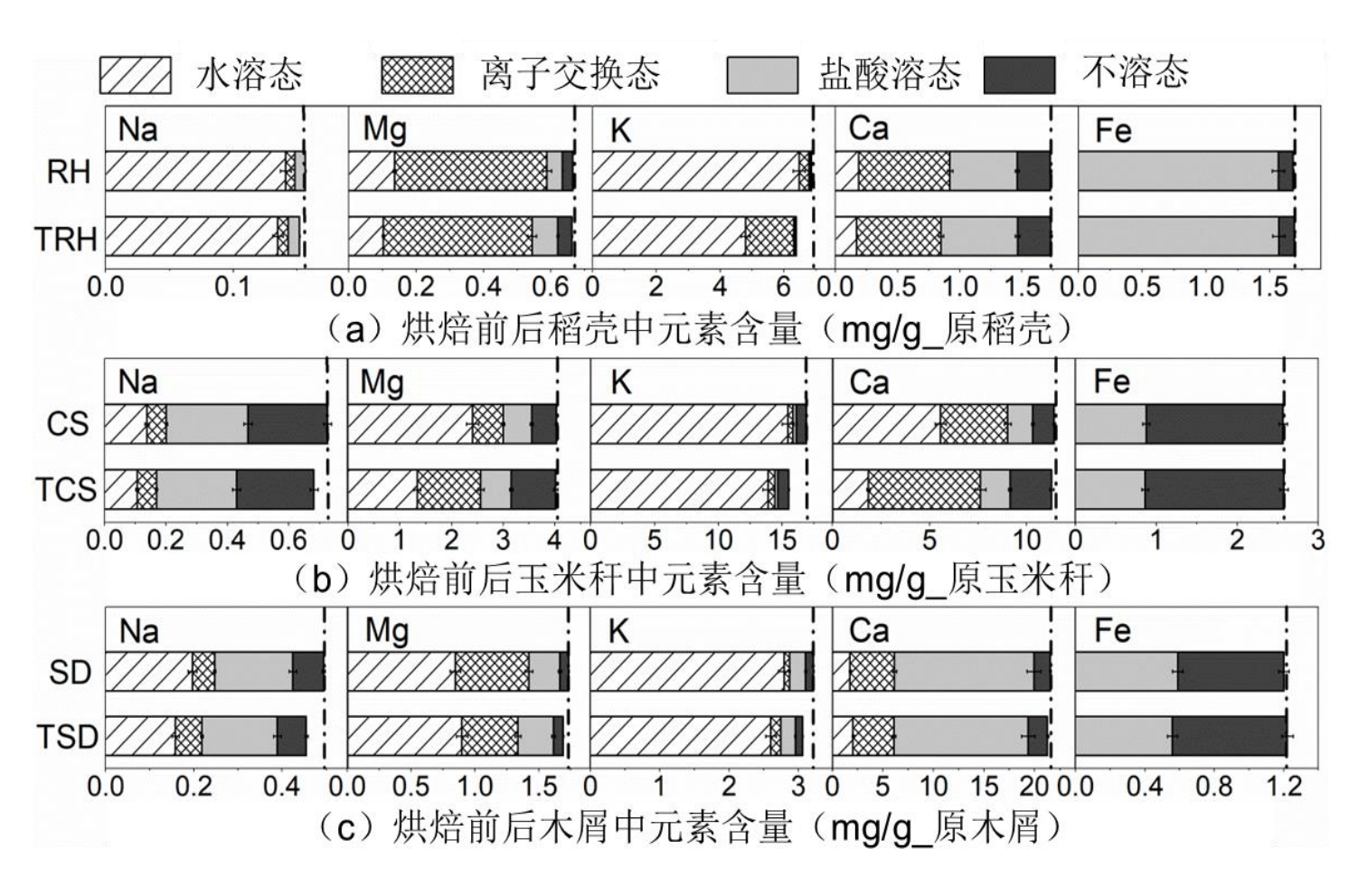


O/C、H/C摩尔比均明显减小

稻壳、玉米秆和木屑经烘焙后,

S分别释放30.2 %, 58.6 %和48.5 %, Cl分别释放9.0 %, 28.6 %和31.7 %。

生物质烘焙 - 燃料特性变化



烘焙前后基于原生物质的各元素在(a)稻壳、(b)玉米秆和(c)木 屑中的赋存形态

Na:

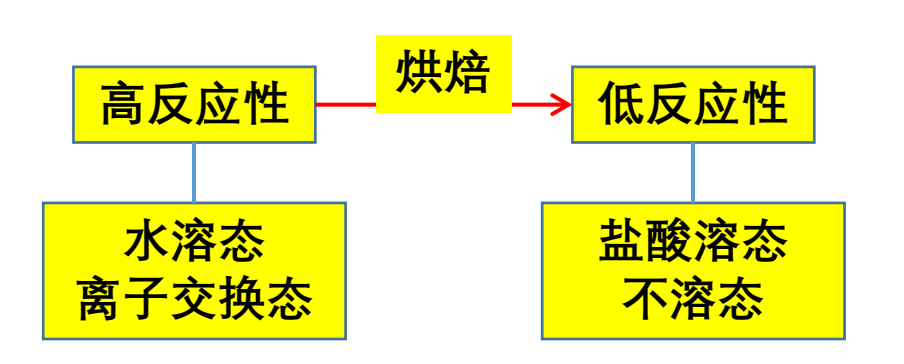
烘焙后,稻壳、玉米秆和木屑中的Na分别 释放约2.8%、6.0%和7.9%。水溶态Na减少。

K:

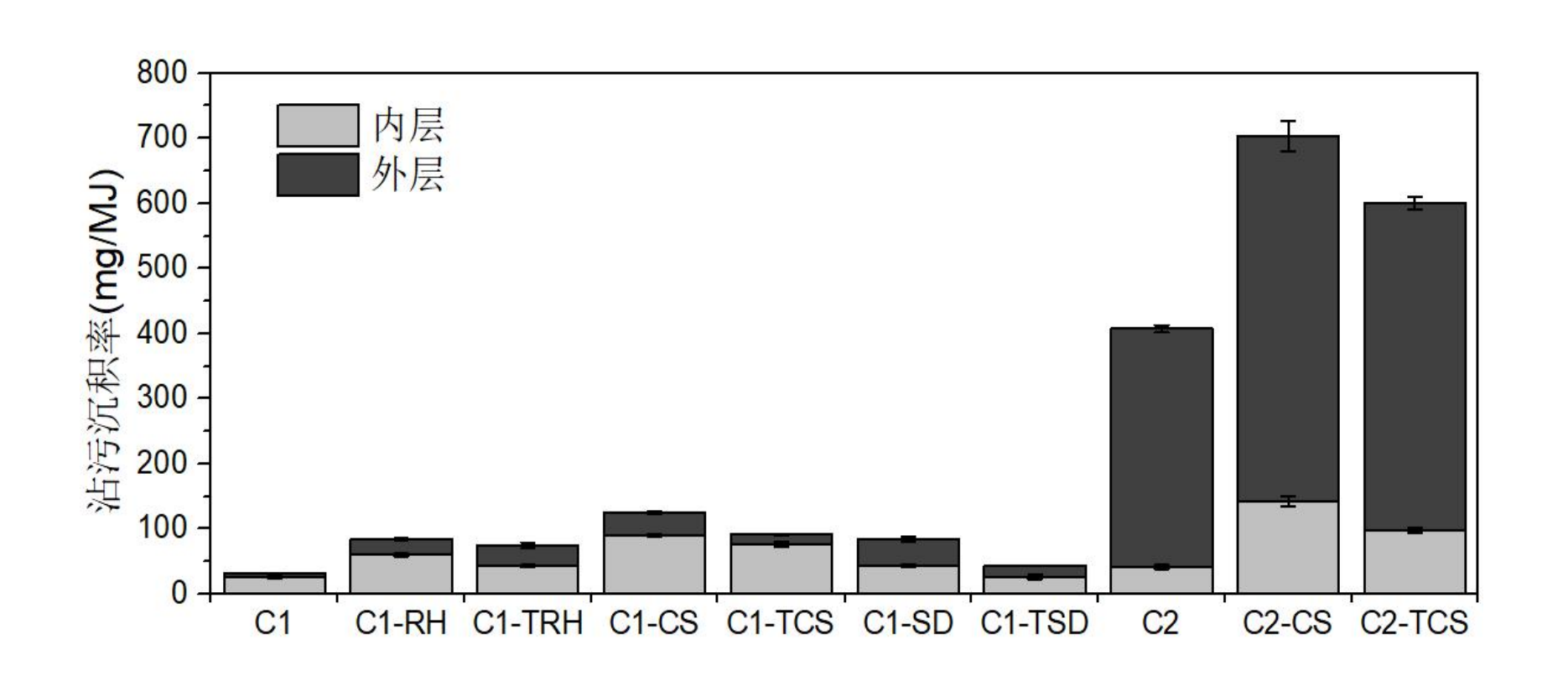
稻壳中约有6.9%的K在烘焙后释放,并且部分水溶态的K转化为离子交换态; 玉米秆和木屑, 约有8.1%和5.0%的K在烘焙中释放。

Mg, Ca:

稻壳,少量水溶态和离子交换态的Mg、Ca 转化为盐酸溶态。玉米秆,部分水溶态的 Mg、Ca转化为离子交换态和不溶态。木屑, 少量离子交换态的Mg、Ca向盐酸溶态转化。

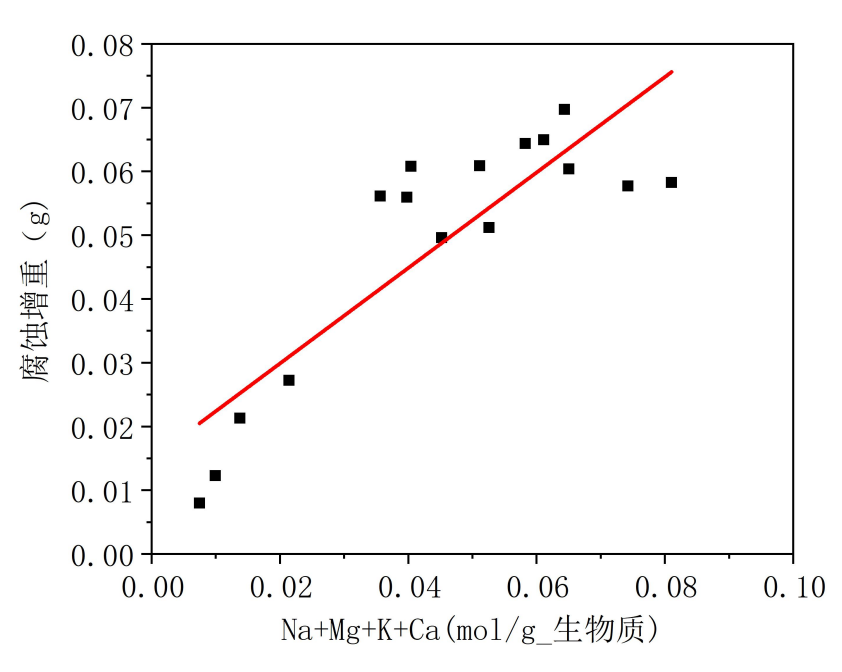


生物质烘焙 – 对沾污影响



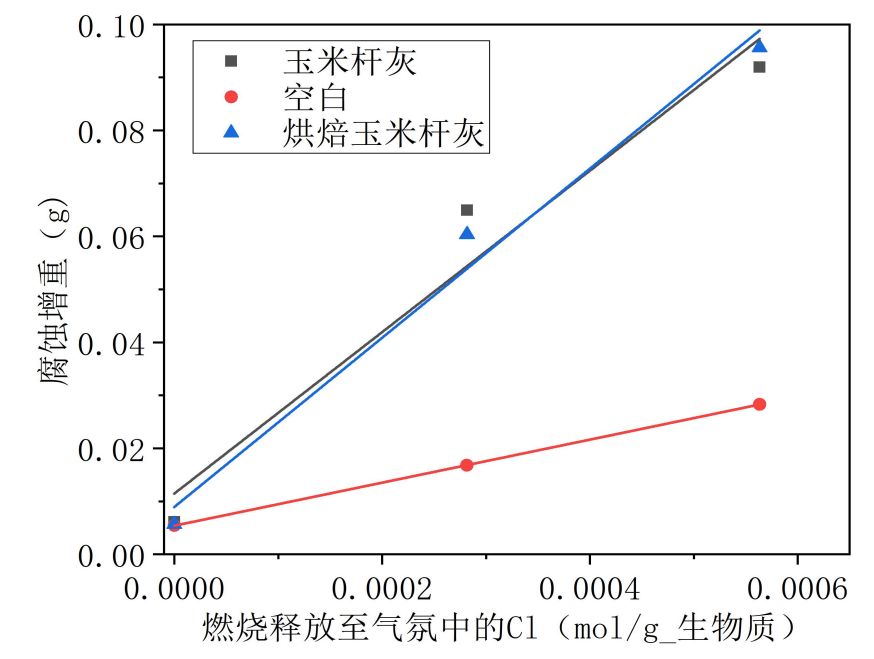
- 与C1煤混烧显著降低了生物质的沾污倾向,烘焙进一步降低了混烧的沾污倾向
- 玉米秆与C2煤混烧对内层沾污的控制明显,烘焙有利于减弱沾污

生物质烘焙 - 对腐蚀影响



灰中碱金属、碱土金属物质的量与腐蚀增重的关系

$$y = 0.7488x + 0.0149$$



单位质量生物质中CI的物质的量与腐蚀增重的关系

负载灰分	拟合直线
玉米杆灰	y = 152.3196x + 0.0115
烘焙玉米杆灰	y = 159.6185x + 0.0089
空白	y = 40.612x + 0.0054

HCI对腐蚀增重的影响远大于AAEM,因此燃烧烘焙生物质主要可以**通过降低气氛中的HCI的释放从而对腐蚀存在减弱作用**。

生物质高效安全燃烧技术展望

> 纯燃

- 一定有木质生物质, 甚至为主
- 前处理技术,如烘焙、汽爆、成型等

> 共燃: 煤-生物质

- 确定最佳掺烧比例是挑战,需要加强基础研究(定量科学指导)
- 合适的前处理技术,实现生物质大规模利用的基础

> 其它控制技术

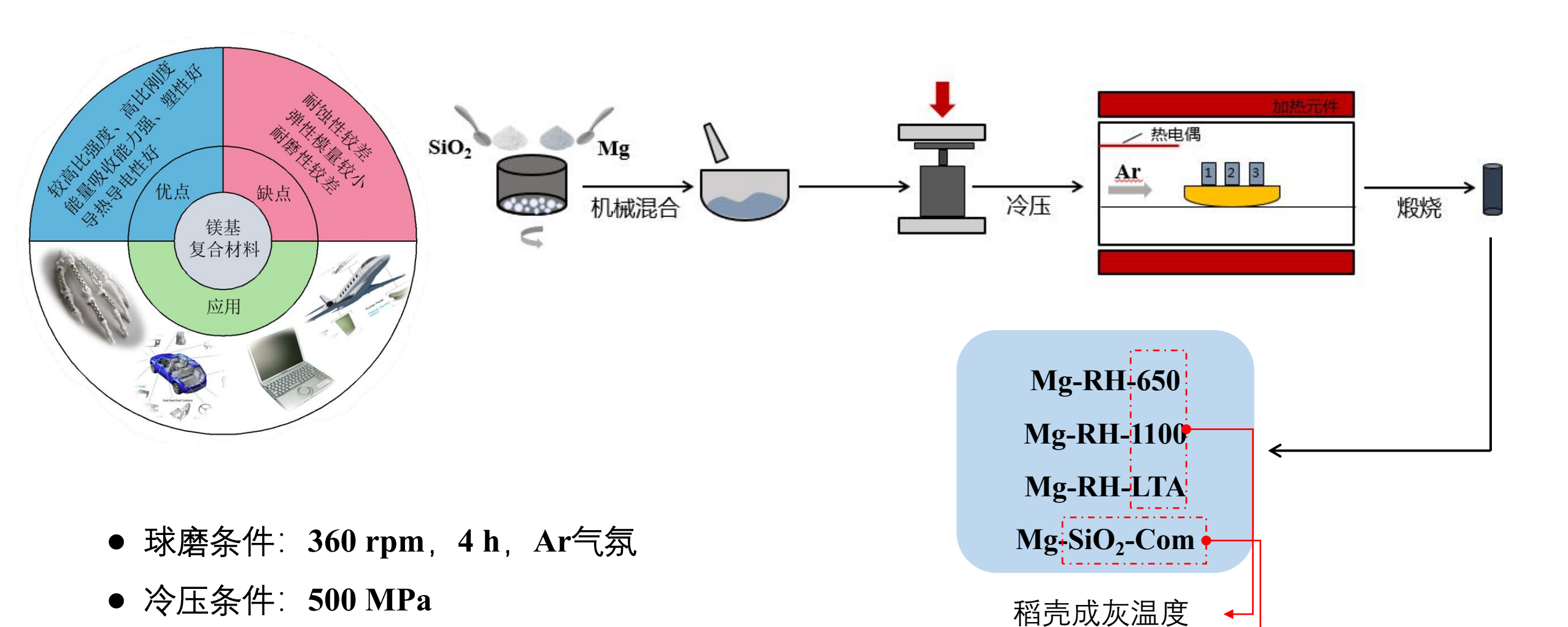
- 吸附剂/添加剂,种类繁多,纯燃过程必须
- 换热面涂层
- 锅炉设计/运行优化…

生物质灰的利用

领域	优点	需注意的问题
建材	增强混凝土的抗拉强度(秸秆灰);提高混凝土的抗冻性能、抗渗特性、抗氯离子渗透扩散能力、抗压性能、抗碳化能力和体积稳定性(稻壳灰)。	可溶性物质导致高孔隙率; 未燃尽碳会加速混凝土坍落度损失; 氯化物会引起混凝土中钢筋的腐蚀; 碱金属和硫酸盐会引起混凝土的恶 性膨胀。
土壤	长期提高土壤 pH 值、土壤肥力以及土壤 生物质活性外; 以减少土壤中重金属和有机污染物的浓度; 促进土壤团粒结构形成,协调土壤水分和 空气,提高耕层土壤接纳和储水能力	重金属含量较高的生物质灰应用到农林方面可能导致土壤中的重金属 元素较高,造成农林土壤的污染
吸附	吸收烟气中SO ₂ 、NO ₂ 等酸性污染物; 固化水体中重金属等有害物质	规模化应用可行性未知; 需要对生物质理化特性进行分析

高值化利用是重要途径之一

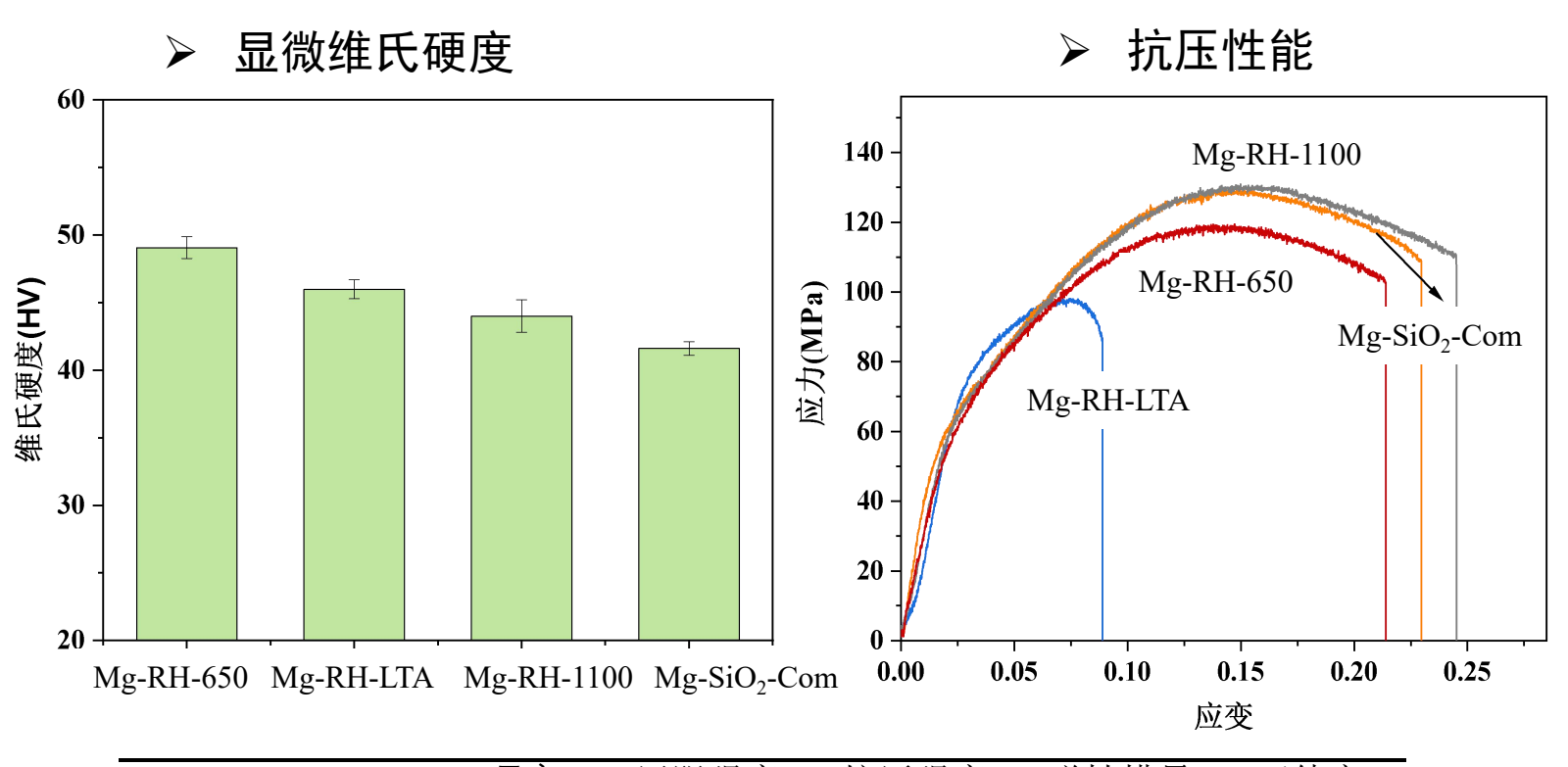
稻壳硅制备镁基复合材料



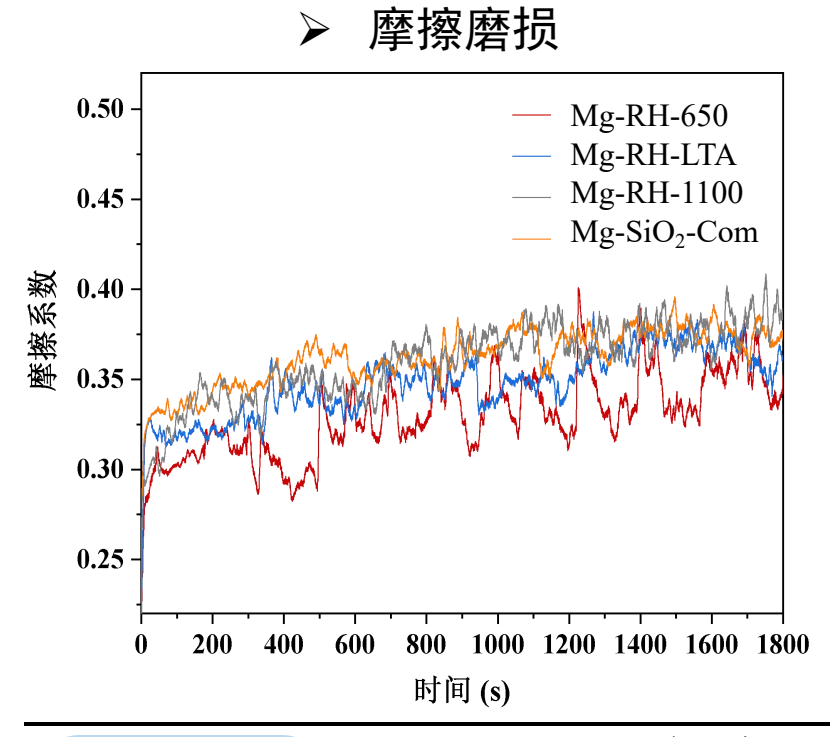
商用晶体二氧化硅颗粒

▶ 烧结条件: 580 °C, 1 h, 5 K/min, Ar气氛

Mg₂Si/Mg复合材料基本性能与耐磨性



	硬度	屈服强度	抗压强度	弹性模量	延伸率
	(HV)	(MPa)	(MPa)	(GPa)	(%)
Mg-RH-650	49	52.4 ± 5	126.9 ± 4	5.9 ± 0.3	13.2 ± 0.7
Mg-RH-LTA	46	49.9 ± 4	140.2 ± 8	5.6 ± 0.5	14.2 ± 0.5
Mg-RH-1100	44	70.7 ± 2	106.1 ± 2	3.5 ± 0.4	7.6 ± 0.5
Mg-SiO ₂ -Com	42	28.3 ± 4	85.3 ± 7	3.2 ± 0.4	8.8 ± 0.3



Mg-1200°C-SiO ₂ : 0.3829、3.364	摩擦系数	磨损率 (10 ⁻³ ×mm³ Nm ⁻¹)
Mg-RH-650	0.3297	1.620
Mg-RH-LTA	0.3479	1.797
Mg-RH-1100	0.3595	1.948
Mg-SiO ₂ -Com	0.3624	2.271

Mg₂Si/Mg复合材料耐蚀性能

Mg-RH-650

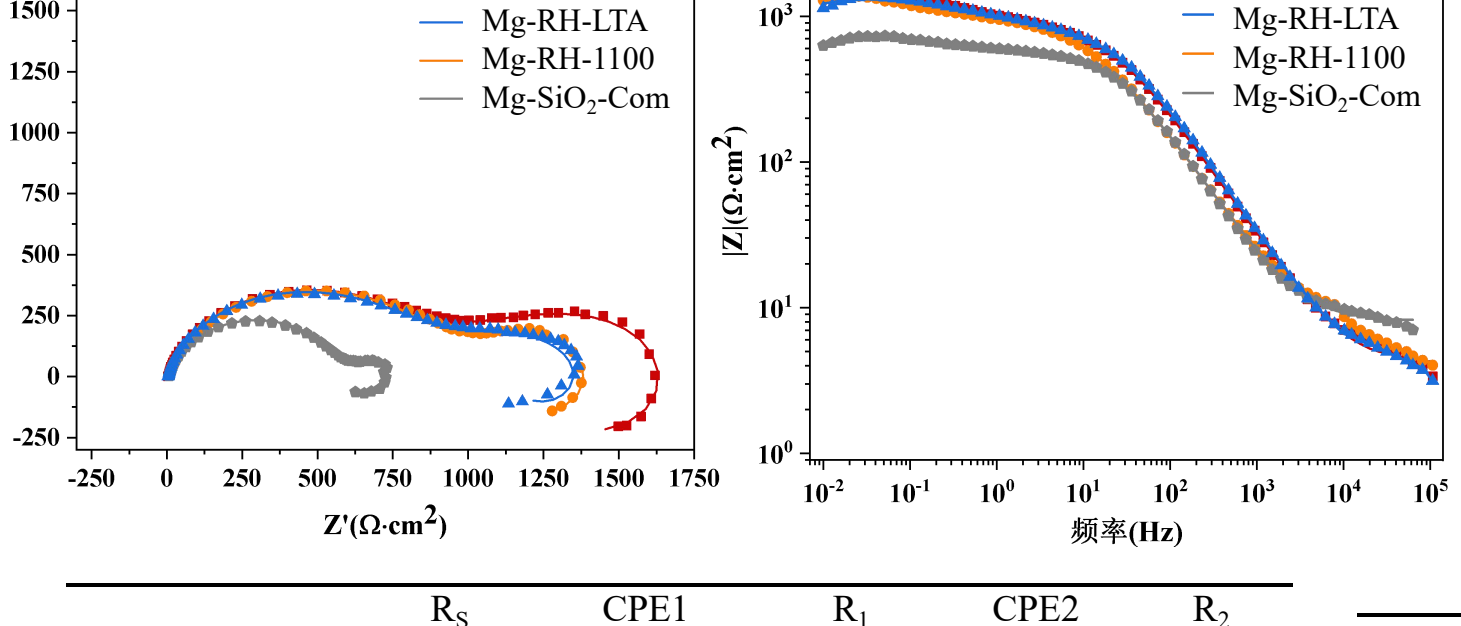
阻抗谱测定(EIS)

— Mg-RH-650

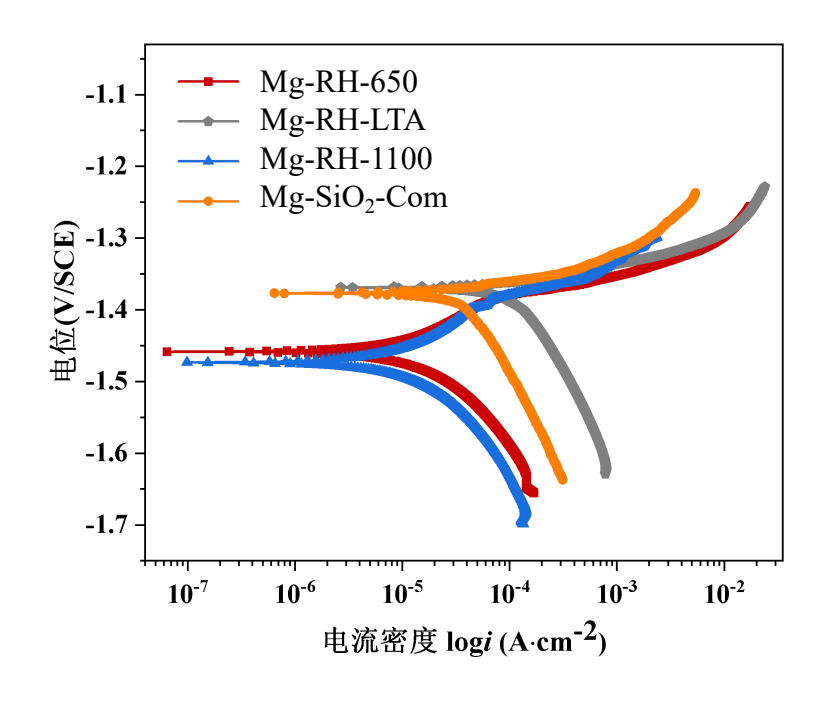
1750

1500

 $-Z''(\Omega \cdot cm^2)$



动极化曲线



	R_{S}	CPE1	R_1	CPE2	R_2
	$(\Omega \bullet cm^2)$	(F•cm ⁻²)	$(\Omega \cdot \text{cm}^2)$	(F•cm ⁻²)	$(\Omega \cdot \text{cm}^2)$
Mg-RH-650	9.051	1.212 10-5	481.9	3.822 10-3	1557
Mg-RH-LTA	3.947	1.578 10-5	989.2	1.226 10-3	1087.2
Mg-RH-1100	8.109	2.377 10-5	565.3	8.258 10-3	631.5
Mg-SiO ₂ -Com	8.447	2.920 10-5	834.9	2.957 10-3	1058

	腐蚀电位	腐蚀电流	腐蚀速度	极化电阻
	(V/SCE)	(mA/cm^2)	(mm/a)	$(\Omega \cdot \text{cm}^2)$
Mg-RH-650	-1.4547	0.00915	0.204	2134.723
Mg-RH-LTA	-1.4712	0.00988	0.221	2620.958
Mg-RH-1100	-1.3647	0.107	2.385	105.963
Mg-SiO ₂ -Com	-1.3739	0.0363	0.811	301.113

生物质燃烧/掺烧技术可实现其大规模利用 有力支撑"双碳"目标的实现 灰问题是其工程应用的重要课题

谢谢关注

于敦喜, 13871352094, yudunxi@hust.edu.cn